

F. 9123 Contacto entre el Mioceno superior y la transgresión del Cuaternario antiguo. "Episodio Camarinal", aquí a (+ 13 m.). Punta Camarinal

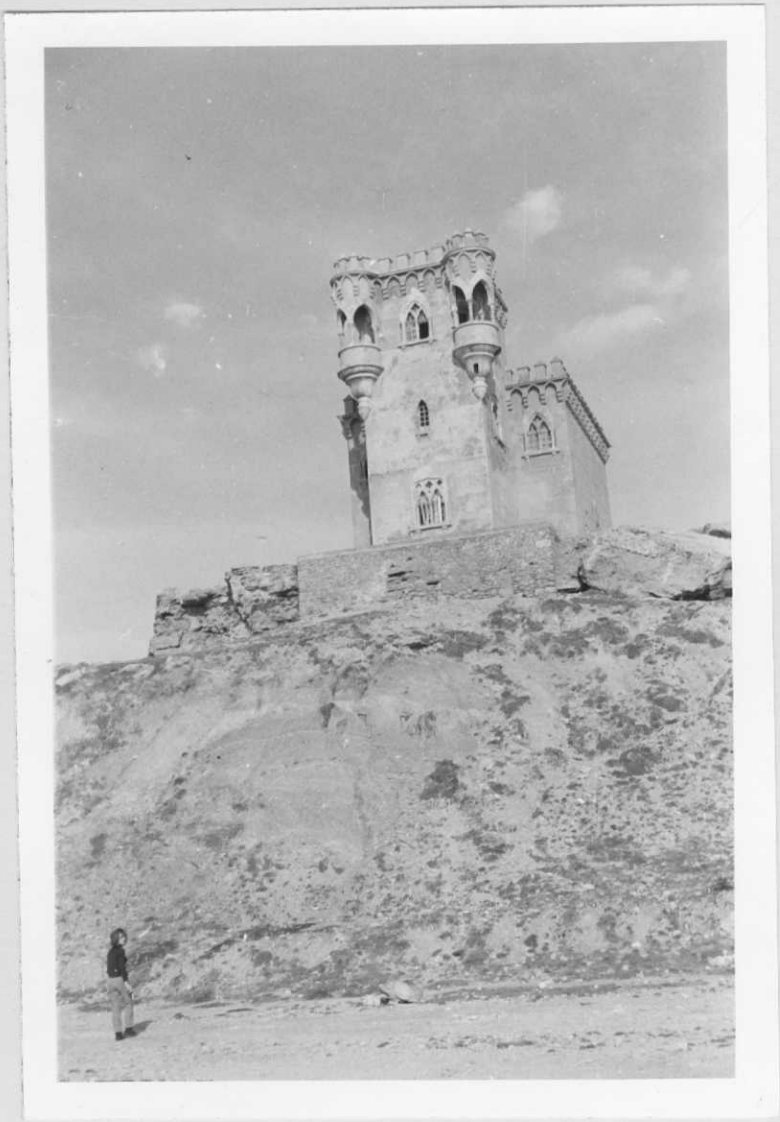


F. 9124 Detalle del conglomerado basal del "episodio Camarinal"

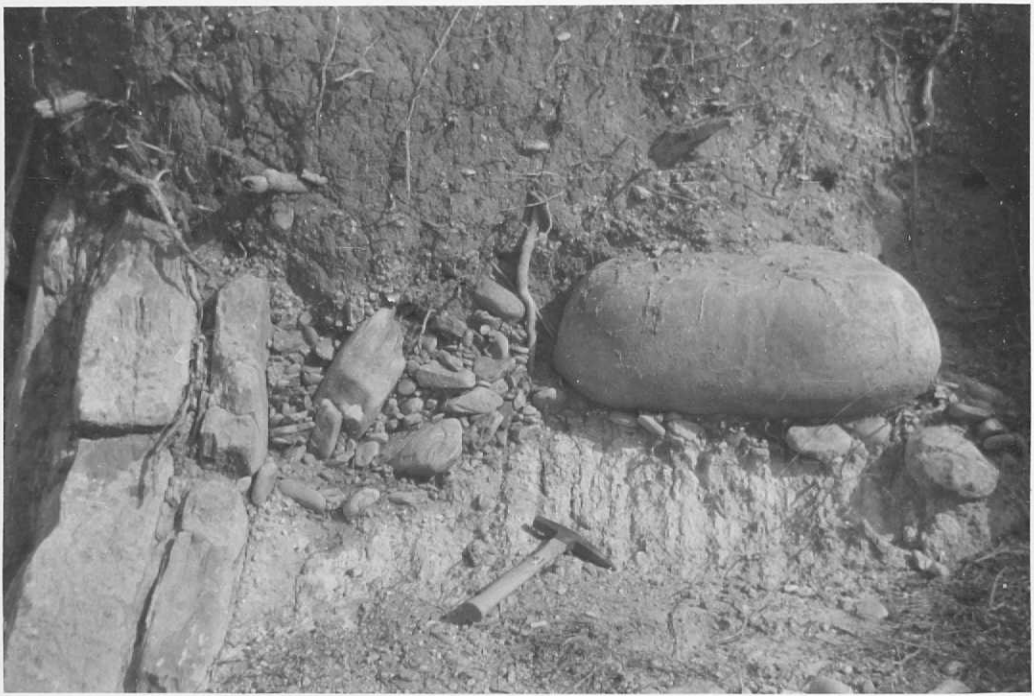
Punta Camarinal



F. 9125 Transgresión del Cuaternario antiguo, plataforma a (+ 19 m.) próxima al máximo transgresivo. Castillo de Tarifa



F. 9126 Rasa marina constituida por los conglomerados del Cuaternario antiguo (+ 9 m.). Isla de las Palomas. Tarifa

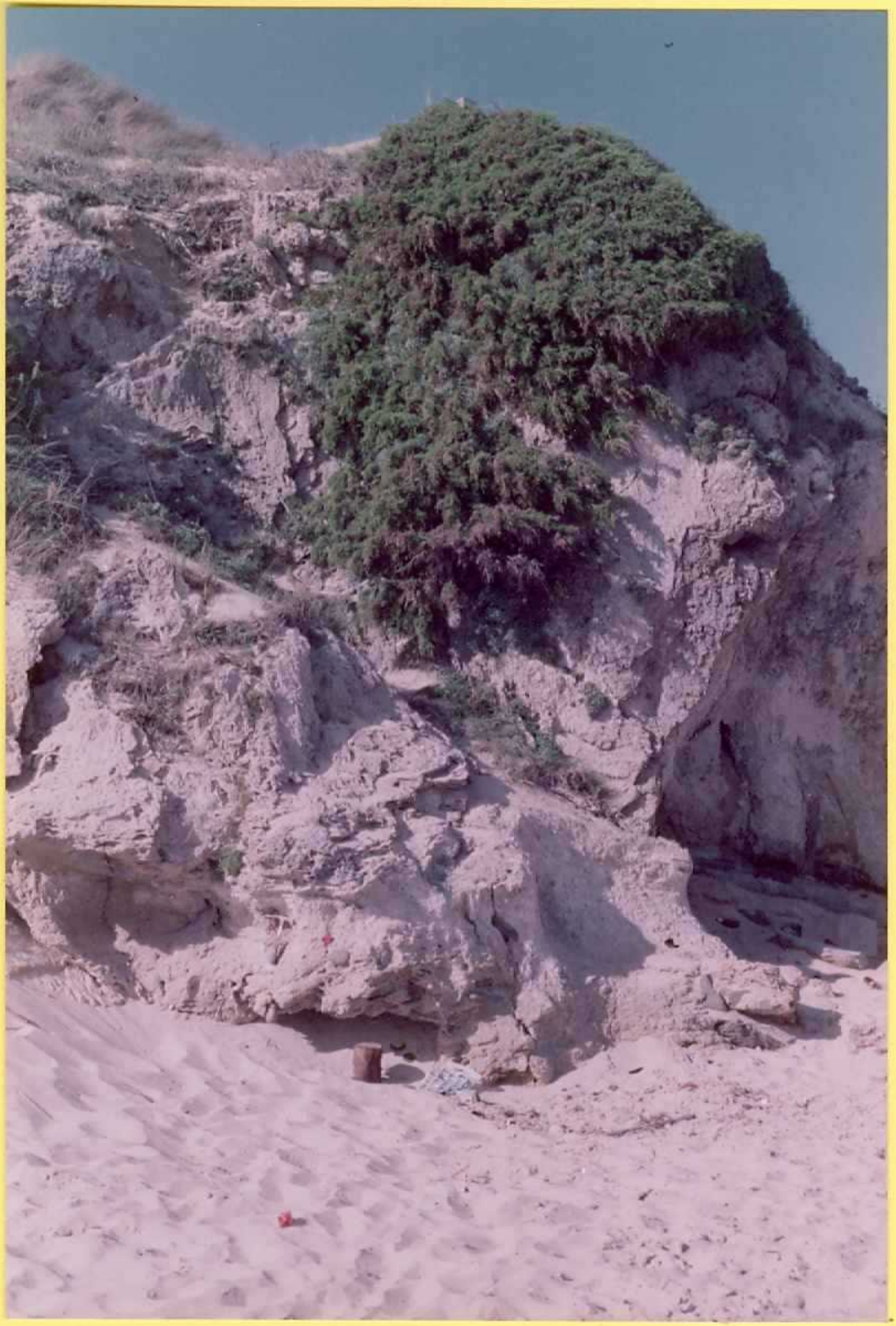


F. 9127 Aspecto del nivel marino Ouljiense, "Episodio Trafalgar" + 4 m. Cabo de la Plata-Cabo de Gracia



F. 9128 Plataforma correspondiente al nivel Ouljiense, + 8 m.

Alrededores de Torre de la Peña



F. 9129 Nivel marino Holoceno, + 1 m. Conglomerado basal, martillo, y dunas cementadas del ciclo regresivo inmediatamente posterior. Paloma Baja



F. 9130 Terraza fluvio-marina del Holoceno, + 1,5 m. Bolonia



F. 9131 Dunas cementadas correspondientes al ciclo Ouljiense.

Ensenada de Valdevaqueros



F. 9132 Dunas rampantes de San Bartolomé. Punta Paloma



F. 9133 Aspecto que presentan los depósitos de abanicos aluviales que descienden de la Sª de Retín. Km. 10 Cª a Zahara



F. 9134 Calizas arenosas del Paleoceno (Unidad 8)



F. 9135 Detalle de la foto anterior



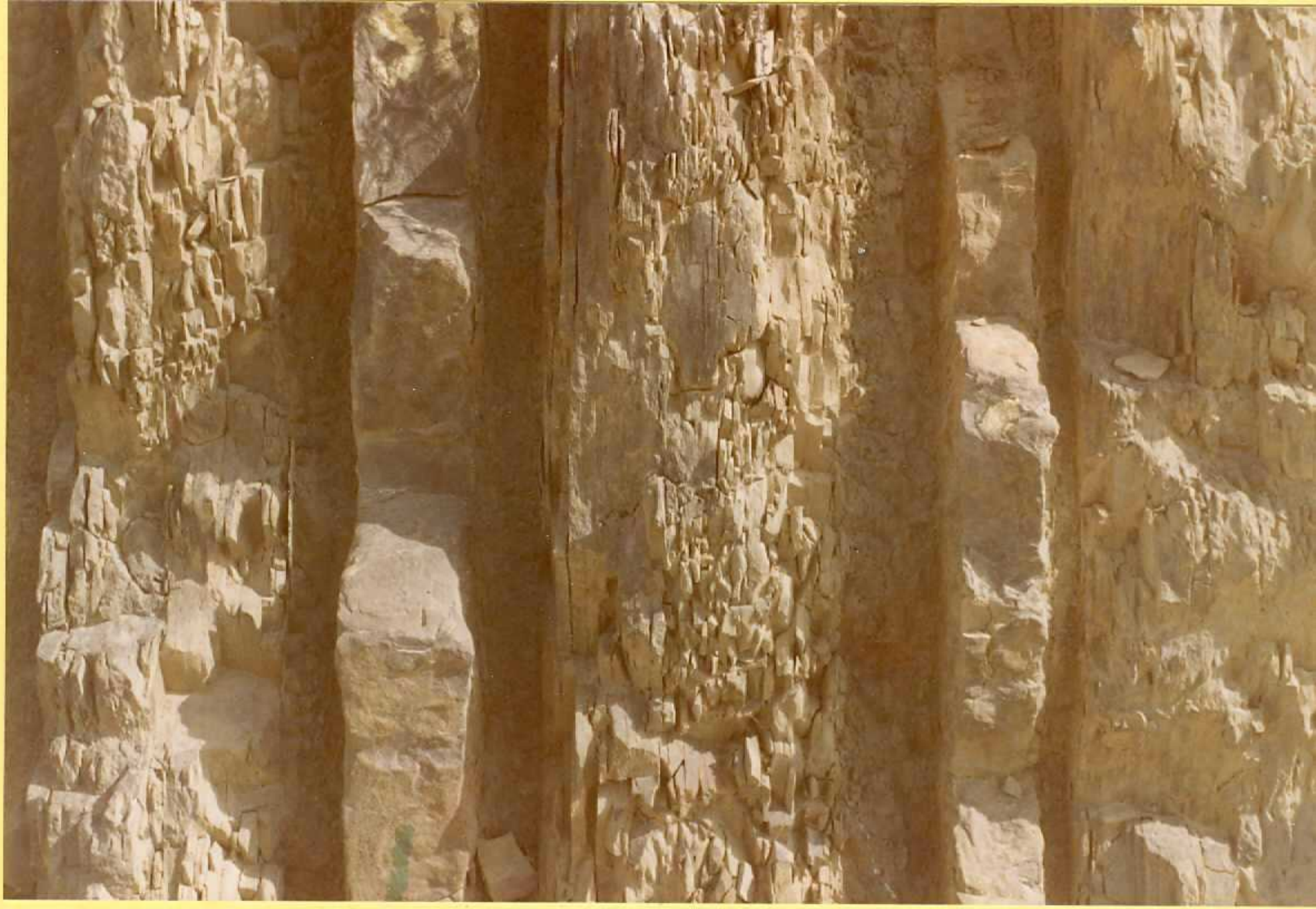
F. 9136 Megaturbidita calcárea a techo de la Unidad 15



F. 9137 Intercalaciones de areniscas de tipo Aljibe en la Unidad 15



F. 9138 Sección de la Sierra del Cabrito (Unidad 15)



F. 9139 Detalle de la foto anterior



F. 9140 Cabalgamiento de las areniscas del Aljibe sobre las arcillas con Tubotomaculum



F. 9141 Calizas y margas claras del Eoceno (Unidad 11)



F. 9142 Areniscas del Aljibe (Unidad 17)



F. 9143 Secuencias de lóbulos en las areniscas del Aljibe



F. 9144 Arcillas rojas y areniscas a techo de la Unidad 9 (Oligoceno)



F. 9145 Bloques de Aljibe (Sierra del Picacho) sobre las arcillas con Tubotomaculum



F. 9146 Aljibe de la Sierra de Ojén.En el Valle, arcillas con Tubotomaculum



F. 9147 Arcillas con Tubotomaculum



F. 9148 Intercalaciones limolíticas en las arcillas con Tubotomaculum



F. 9149 Calizas arenosas del Paleoceno con convolutes (Unidad 6)



F. 9150 Pliegues en la Unidad 12 producidos en la fase compresiva NNE-SSW



F. 9151 Calizas y arcillas rojas (Unidad 12)



F. 9152 Brecha calcárea en la base de la Unidad 12



F. 9153 Areniscas y margas de Algeciras con intercalaciones de areniscas de tipo Aljibe (Unidad 15)



F. 9154 Megaturbidita arenosa (Unidad 15)



F. 9155 Megaturbidita calcárea a techo de la Unidad 15



F. 9156 Margas claras asociadas a la megaturbidita de la foto anterior



F. 9157 Areniscas del Tambor (Unidad 2)



F. 9158 Flute marks en la base de una capa de areniscas del Tambor (Unidad 2)



F. 9159 Calizas del Paleoceno y Eoceno y areniscas del Aljibe en la Sierra de San Bartolomé



F. 9160 Pliegues de la Sierra de Fates producidos durante la fase de retrocabalgamiento



F. 9161 Margas y calizas de Almarchal (Unidad 3) en la ensenada de Bolonia



F. 9162 Calizas arenosas con Microcodium (Unidad 6)



F. 9163 Laminación de ripples en la Unidad 6



F. 9164 Laminación de ripples en la Unidad 6



F. 9165 Sierra de la Plata, verticalizado durante la tercera fase de deformación (NNE-SSW)



ligas convolutadas del Paleoceno (Unidad 6)



F. 9167 Sierra de San Bartolomé



F. 9168 Margas y calizas de Almarchal (Unidad 3). Al fondo areniscas del Aljibe de la Sierra de la Plata



F. 9169 Areniscas del Aljibe de la Sierra de la Plata



F. 9170 Plioceno inferior de la Punta Camarinal